

## تحليل هبوط أساس المكائن تحت تأثير الأحمال الترددية باستخدام طريقة العناصر المحددة

قبيبة نزار الصفار

Dr.Qutayba@gmail.com

جامعة الموصل - كلية الهندسة - قسم الهندسة المدنية

نور خالد الحسو

n.khalid35@yahoo.com

تاریخ القبول: 11/10/2020

تاریخ الاستلام 14/8/2020

**الخلاصة**

يعتبر تحليل أساس المكائن من الأمور المهمة في هندسة الجيوكينيك حيث أن أساس المكائن توفر منصة فوية للمكائن للعمل بطريقة سلسة مع الحد الأدنى من متطلبات الصيانة. وإن عملية تحليل أساس المكائن يتطلب المزيد من الاهتمام نظرًا لأنه لا يشمل فقط الأحمال الساكنة (*Static load*) ولكن أيضًا الأحمال الحركية (*Dynamic load*) الناتجة عن القوى غير المتناظرة التي تؤديها الماكينة أو الحركة الاهتزازية لها وبطبيعة الحال فإن هذا الحمل الحركي ينتقل إلى التربة عن طريق الأساس ويمكن حساب تأثيره باستخدام مبادئ الترددية الحركية ونظرية الاهتزاز.

يتناول هذا البحث دراسة تحليل أساس المكائن تحت تأثير الأحمال الحركية مع الأخذ بعين الاعتبار نوع التربة وحالتها ، شكل الأساس ، نوع الحمل الحركي المسلط وطريقة التحليل ولتحقيق ذلك تم استخدام طريقة العناصر المحددة (برنامج 2D Plaxis) حيث اختُنَت ثلاثة أنواع من الترب الرملية (مفككة ومتوسطة وكثيفة) وتم دراسة تأثير الأحمال الحركية على أنواع مختلفة من أساس المكائن (مربع ، مستطيل ، شرطي) وتحت تأثير تردد حراري متباين (5, 10, 15, 20 Hz) وتم دراسة تأثير مجموعة هذه العوامل على مقدار الازاحة العمودية لأساس المكائن ومقارنة هذه النتائج مع اقصى هبوط عند حالة الرنين من خلال معامل خاص أطلق عليه معامل الازاحة المرجعية (*Normalized Displacement*).

ويلاحظ من هذه الدراسة أن قيمة الهيروط تتحفظ بزيادة قيم نسبة (L/B) للأساس لنفس التردد لحالات التربة الثلاث كما وأن كلما زادت قيمة معامل المرونة (E) فإن قيمة الازاحة المرجعية تقترب من الرقم (1) اي أنها تقترب من حالة الرنين عند التردد (5 Hz) لحالة الأساس المربع أكثر منها من المستطيل والشرطي ، أما باقي الترددات (20 , 15 , 10 Hz) تكون قيمة الازاحة المرجعية أقل مقارنة بالتردد (5 Hz) وكذا أقل تبايناً بين حالات شكل الأساس المختلفة .

**الكلمات الدالة:** أساس المكائن ، تردد الرنين ، الحمل الحركي ، الازاحة المرجعية ، العناصر المحددة

<https://rengj.mosuljournals.com>

Email:alrafdain\_engjournal1@uomosul.edu.iq

تتميز أساس المكائن بأشكال ووصلات متعددة وعادة ما توضع على سطح الأرض أو مدفونة فيها. إن التربة الداعمة تكون مادة ثلاثة الطور : وهي الجزيئات الصلبة والماء والهواء وبالتالي فإن التربة ليست سلسلة متصلة ولا متماثلة ولا متباينة وتتصحر بطريقة غير مرنة وغير خطية تحت الأحمال المسلطة عليها [2][3]. ومن الثابت أن صلابة نظام الأساس – التربة تعتمد على عدة عوامل ومن أهمها الإجهاد الساكن الأولي ، قيمة الزيادة للإجهاد الحركي ، توزيع الضغوط على منطقة التلامس ، تغيير عامل القص مع العمق ، الطبقات ضمن وسط التربة فضلاً عن عمق الأساس كما يشار إلى حالة الرنين وما يتوجب أخذها في الاعتبار لتجنب الفشل فيما لو تواافق التردد الطبيعي لمنظومة (الأساس - التربة - الماكنة) مع تردد الحمل المسلط لذا فإن له تأثير مهم على سلامة المنشآ.

### 2. مفهوم التحليل لأساس المكائن

بشكل عام ، يزن أساس الماكينة عدة أضعاف وزن الماكينة التي تدعها. كما أن الحمل الحركي المرتبط بالأجزاء المتحركة للماكينة

### 1. المقدمة

تتطلب أساس الماكينة اهتماماً خاصاً لأنها تنقل الأحمال الحركية إلى التربة بالإضافة إلى الأحمال الساكنة بسبب وزن الأساس والماكينة والملحقات . إن الحمل الحركي بسبب تشغيل الماكينة صغير بشكل عام مقارنة بوزن الساكن للماكينة والأساس الداعم. في أساس الماكينة ، يتم تطبيق الحمل الحركي بشكل متكرر على مدى فترة طويلة جدًا من الزمن ولكن حجمه صغير وبالتالي يكون سلوك التربة مرئياً بشكل أساسي ، وإلا سيزيد التشوه مع كل دورة تحويل وقد يصبح غير مقاوم.

إن أساس المكائن تعتبر أمر مهم يجب العناية به عند الانتشاء وضمن متطلبات التصميم لما لها من تأثير على عملية التشغيل والاستخدام للماكينة من الناحية المادية ومن ناحية السلامة للعاملين في الموقع . وقد عني في هذا المجال مطلع القرن العشرين حيث تم إجراء تجربات حول التردد الطبيعي [1] (Natural frequency) وساهم الكثير بأبحاث لتطوير دراسة المشاكل الناجمة عن الاهتزاز والمؤثرة في أساس المكائن ومنهم Timoshenko في عام 1928 ، اعقبها بحث Barkan (Barkan) في 1938 الذي يتحدث عن التأثيرات الحرارية المؤثرة على أساس المكائن التي تأثرت بالحمل الحركي المسلط عليها .

	$\gamma_{\text{concrete}}$	(KN/m <sup>3</sup> )	24
	$v_{\text{concrete}}$	-	0.15

## 2- المراحل التحليل باستخدام برنامج (Plaxis 2D)

لأجل دقة النتائج والمعلومات التي تم الحصول عليها من البرنامج عند تحليل المنظومة المكونة من (الترية - الأساس - الماكنة) فيجب تمثيل جميع الحالات والتاثيرات التي تمر بها المنظومة وكما يلي :

1. الحمل الساكن للمنظومة ( الأساس + الماكنة ) وتسمى (Initial phase) والذي يمثل مرحلة السكون او التوقف تحت تأثير وزنها .
2. الحمل الاهتزازي للمنظومة ( الأساس + الماكنة ) والتي تمثل مرحلة التشغيل لها
3. مرحلة التوقف بعد التشغيل ومن خلالها يمكن حساب ال (displacement) تحت الأساس في الترية .

## 2- المعادلات الحسابية وحالة الدراسة

لحساب اعظم قيمة للهبوط ( $A_z$ ) استخدمت مجموعة من المعادلات الرياضية المعتمدة والتي سيشار إليها لاحقا ولكن يتوجب حساب كل من نسبة التخميد(D) من المعادلة بالإضافة على قيم ( $C_{dy}$ ,  $C_{cr}$ ) باستخدام مجموعة من المعادلات وثبتت المرونة المكافئ الحركي ( $K_{dy}$ ) ، حيث يعتمد الأخير على معامل الربط ( $\eta$ ) الذي يتم الحصول عليه من الشكل (1) وقيمة ( $K_{st}$ ) ، وللحصول على قيمة ( $K_{st}$ ) بوحدة (KN/m) [6] تستخدم المعادلات التالية كما موضح أدناه :

$$J_a = \frac{A_b}{4L^2} \dots\dots\dots (1)$$

$$A_b = B * L \dots\dots\dots (1a)$$

$$K_{st} = \frac{2GL}{1-\vartheta} S_z \dots\dots (2)$$

حيث أن :

$A_b$  : مساحة قاعدة الأساس (m<sup>2</sup>)

$L$  : طول قاعدة الأساس (m)

$B$ : عرض قاعدة الأساس (m)

$K_{st}$  : ثابت المرونة الساكن للترية (KN/m)

$G$  : معامل القص الساكن (KN/m)

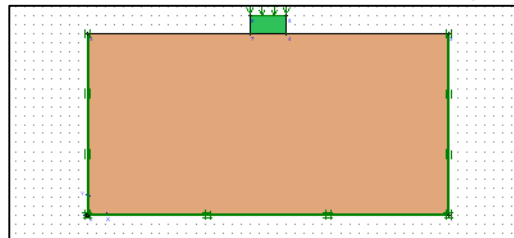
$\vartheta$  : نسبة بواسون

أما قيمة المعامل  $S_z$  فيمكن حسابه من الجدول (2) [6]

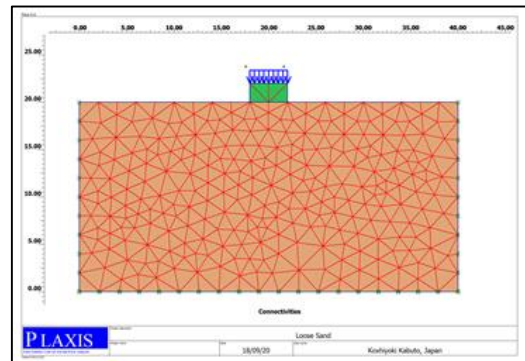
صغرى بشكل عام مقارنةً بالحمل الثابت. ومع ذلك ، في أساس الماكنة تعمل الأحمال الحركية بشكل متكرر على مدى فترة زمنية طويلة جدًا. لذلك من الضروري أن تكون الترية مرنة ، والارتفاع الشوهد مع كل دورة تحمل حتى يصبح اتساع التشوهد أكبر وخارج الحد المقبول. لذا يتطلب إجراء عملية تحليل لتحليل لمنظومة الأساس - الترية تحت تأثير الحمل المطبق باستخدام مجموعة من المعادلات الرياضية المعتمدة في العديد من المصادر ومقارنتها مع نتائج نفس النموذج (برنامج Plaxis 2D) تحت تأثير نفس الظروف باستخدام طريقة العناصر المحدودة (برنامج Plaxis 2D) ، حيث يضم البرنامج حالات مختلفة لتمثيل سلوك الترية وقد تم استخدام نموذج الحالة المرنة (Elastic) [4][5] وذلك بسبب استخدام المعادلات الرياضية المبنية على اعتبار حالة الترية (Elastic).

إن عملية التحليل ستتضمن المنظومة بأكملها كما ذكر سابقا مع الترية الساندة لها والحمل الحركي المطبق بتعدد وسعة اهتزاز مثبتة لكل حالة ، أما بالنسبة لخواص الترية المستندية والأساس فهي موضحة بالجدول (1).

في هذه الدراسة تم اجراء عملية التحليل للمنظومة بحالة الانفعال المستوي (Plane Strain) وفرضيات تصرف الخطى المرن (linear elastic) حيث تمت الدراسة ضمن مجال عمق (20) م ومسافة افقية كلية مقدارها (40) م ، أخذت هذه المسافة تجنبا لانعكاس الموجات في حالة تحديد مسافة اقل وقد تم تحديد نوع الحدود لمجال الترية ب (Absorbent Boundary) كما في الشكلين (1) و (2) علما أن الدراسة اقتصرت على نمط الحركة العمودي للأساس.



الشكل (1) : مخطط يوضح موقع الأساس من سطح الأرض مع وجود ال Absorbent Boundary



الشكل (2) : مخطط يوضح حجم الشبكة المستخدمة لتغطية منظومة (الترية - الأساس) عند التحليل

الجدول (1) : خواص الترية والأساس

Material	Material properties	Unit	Loose Sand	Medium Sand	Dense Sand
Soil	Unit weight, $\gamma$	(KN/m <sup>3</sup> )	15.7	17.1	18.6
	Young's modulus , E	(KN/m <sup>2</sup> )	12000	24000	36000
	Poisson's ratio , v	-	0.3	0.32	0.34
Foundation	E <sub>concrete</sub>	(KN/m <sup>2</sup> )		2 x 10 <sup>7</sup>	

أما فيما يخص قيمة معامل القص الحركي ( $G_{dy}$ ) فيمكن حسابه من المعادلات التالية ووحدته : [6] (KN/m)

$$G_{dy} = \frac{K_{dy}(1-\vartheta)}{4 * r_o} \dots\dots (6)$$

$$r_o = \sqrt{\frac{A_b}{\pi}} \dots\dots (7)$$

حيث أن :

$r_o$  : نصف قطر المكافى للأساس ووحدته (m)

$K_{dy}$  : ثابت المرونة الحركي للتربة (KN/m)

ولإيجاد قيمة معامل المرونة الحركي للتربة المتهاجمة فيتم بإستخدام المعادلة التالية (8) ووحدته (KN/m<sup>2</sup>)

$$E_{dy} = 2 * G (1 + \vartheta) \dots\dots (8)$$

ولإيجاد قيمة نسبة التخميد (Damping ratio) ، يتم حساب كل من  $C_{cr}$  و  $C_{dy}$  وذلك بإستخدام المعادلة التالية [7][6] :

$$C_{dy} = C_z * \lambda \dots\dots (9)$$

$$C_z = \rho * V_{LA} * A_b \dots\dots (10)$$

$$V_{LA} = \frac{3.4 * V_s}{\pi(1-\vartheta)} \dots\dots (11)$$

$$C_{cr} = 2 * \sqrt{K_{st} * m} \dots\dots (12)$$

$$m = \frac{A_b * h * \gamma_c}{9.81} \dots\dots (13)$$

حيث أن :

$V_{LA}$  : معامل لإيجاد قيمة التخميد في الاتجاه العمودي

$C_{dy}$  : التخميد الحركي بالاتجاه العمودي بوحدة (ton/sec)

$C_z$  : التخميد في الاتجاه العمودي بوحدة (ton/sec)

$m$  : كتلة الأساس بوحدة (ton)

$A_b$  : مساحة قاعدة الأساس بوحدة (m<sup>2</sup>)

$h$  : سمك الأساس بوحدة (m)

$\gamma_c$  : كثافة الخرسانة بوحدة (KN/m<sup>3</sup>)

الجدول (2) : قيمة المعامل  $S_z$  لحساب قيمة  $K_{st}$

Mode		Applicable
Vertical	$S_z = 0.8$	$J_a \leq 0.02$
	$S_z = 0.73 + 1.54(J_a)^{0.75}$	$J_a > 0.02$
Horizontal	$S_y = 2.24$	$J_a \leq 0.16$
	$S_y = 4.5(J_a)^{0.38}$	$J_a > 0.16$
Rocking	$S_{Bx} = 2.54$	$B/L \leq 0.4$
	$S_{Bx} = 3.2(B/L)^{0.25}$	$B/L > 0.4$
Torsion	$S_t = 3.2$	All B/L
	$S_t = 3.8 + 10.7(1 - B/L)^{10}$	All B/L

ولحساب التردد المجرد  $a_0$  (Dimensionless Frequency) تستخدم المعادلة التالية :

$$a_0 = \frac{\omega B}{V_s} \dots\dots (3)$$

ولحساب سرعة انتقال موجة الاهتزاز داخل التربة ( $V_s$ ) ووحدتها : [ 8][6](m/s<sup>2</sup>)

$$V_s = \sqrt{\frac{G}{\rho}} \dots\dots (4)$$

حيث أن :

$\omega$  : تردد المنظومة (المائة-الأساس-التربة) ووحدته (Hz)

$B$  : عرض الأساس ووحدته (m)

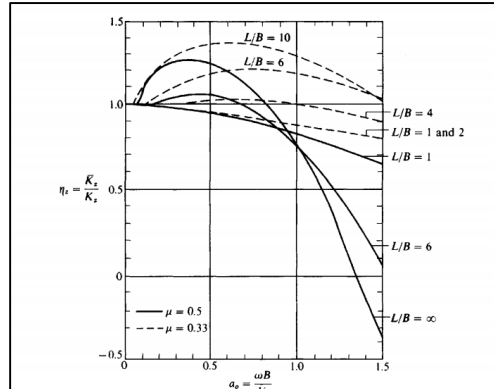
$\rho$  : الكثافة الكلية للتربة ووحدتها (gm/cm<sup>3</sup>)

ولحساب قيمة ثابت المرونة المكافى للتراب ( $K_{dy}$ ) بوحدة (KN/m) تستخدم المعادلة التالية [6]

$$K_{dy} = K_{st} * \eta \dots\dots (5)$$

حيث أن :

$\eta$  : عامل يتم الحصول عليه من الشكل (3) ويستخدم بالاتجاه العمودي فقط ويعتمد على قيمة معامل بواسون (poisson's ratio)



الشكل (3): العلاقة بين  $\eta$  و  $a_0$  [6]

المجال [6][8] واعتمدت قيم مضاعفة لمعامل المرونة ( $E$ ) لغرض بيان مدى تأثيرها على التحليل حيث استخدمت معامل المرونة في التربة المفكرة ( $E=12000\text{KN/m}^2$ ) وقيمة معامل المرونة في التربة المتوسطة ( $E=24000\text{KN/m}^2$ ) في حين استخدمت معامل مرونة مقداره ( $2E=48000\text{KN/m}^2$ ) في التربة الكثيفة ، كما تم دراسة تأثير شكل الاساس (مربع ( $L/B=1$ )) ، مستطيل ( $L/B=2,4,6,8$ ) ، شريطي ( $L/B=10$ ) ، كما تم دراسة تأثير التردد على قيمة الهبوط من خلال اخذ اربع قيم لترددات مختلفة وهي (5,10,15,20 Hz) وفيما يلي بيان لاهم عن النتائج التي تم التوصل اليها.

#### 1. تأثير نوع التربة وشكل الاساس على مقدار قيمة الهبوط للأساس

لغرض دراسة تأثير نوع التربة في عملية تحليل الاساس المختلفة فقد تم دراسة حالات التربة الثلاث (مفكرة ، متوسطة ، كثيفة) لبيان تأثير اختلاف معامل المرونة ( $E$ ) وتغير كثافة التربة على قيمة الهبوط لأنواع الاساس المستخدمة في هذه الدراسة حيث يبين الشكل (4) تأثير اختلاف نوع التربة على قيمة الهبوط للأساس المختلفة وتحت تأثير الترددات المختلفة .

للحظ من خلال الدراسة انخفاض ملحوظ لقيمة الهبوط بين حالات التربة الثلاث عندما يكون التردد متساوياً لـ (5Hz) الحالات شكل الاساس عندما تكون نسبة ( $L/B = 1, 2, 4$ ) اما عند زيادة هذه النسبة فيكون الهبوط متقارب ولباقي الترددات (10, 15, 20 Hz) فتكون قيمة الهبوط متقاربة لجميع انواع الترب (مفكرة ، متوسطة ، كثيفة) ولكل نوع الاساس المستخدمة في هذه الدراسة ( $L/B = 1,2,4,6,8,10$ ).).

كما يلاحظ من الشكل (4) ان الهبوط (Displacement) يبدأ بالاستقرار في حالة التربة المفكرة والمتوسطة (Loose sand and Medium Sand) عندما يكون نسبة ( $L/B$ ) متساوية لـ (8) اي عندما يقترب شكل الاساس من الشريطي بينما في حالة التربة الكثيفة (Sand) يستقر الهبوط عندما تكون نسبة ( $L/B$ ) متساوية لـ (6) تقريباً ويعزى الانخفاض في الاستجابة لمنطقة التلامس الكبيرة إلى تقليل الضغوط بسبب مساحة التلامس الكبيرة مع زيادة الصلاية العمودية بزيادة قيمة معامل المرونة .

وبشكل واضح لوحظ انخفاض في قيمة الهبوط بزيادة التردد لكافة انواع الترب الثلاث ولجميع اشكال الاساس ، وبنفس الوقت ينخفض مقدار هذا الهبوط بزيادة كثافة التربة ومعامل مرونتها ويعزى ذلك الى زيادة الاجهادات العمودية والقص (Normal and Shear Stresses) بالإضافة الى زيادة الصلاية العمودية .

#### 2. تأثير التردد على مقدار قيمة الهبوط للأساس

يشكل عام بزيادة قيمة التردد التشغيلي [1] للماكينة تقل قيمة الهبوط عند ثبات نسبة ( $L/B$ ) كما في الشكل (4). أما فيما لو تم تثبيت تردد معين مثلاً (5Hz) يلاحظ انخفاض في قيمة الهبوط بزيادة كل من كثافة التربة واقتراض شكل الاساس من الشكل (4): تأثير نوع التربة على مقدار الهبوط للأساس المختلفة

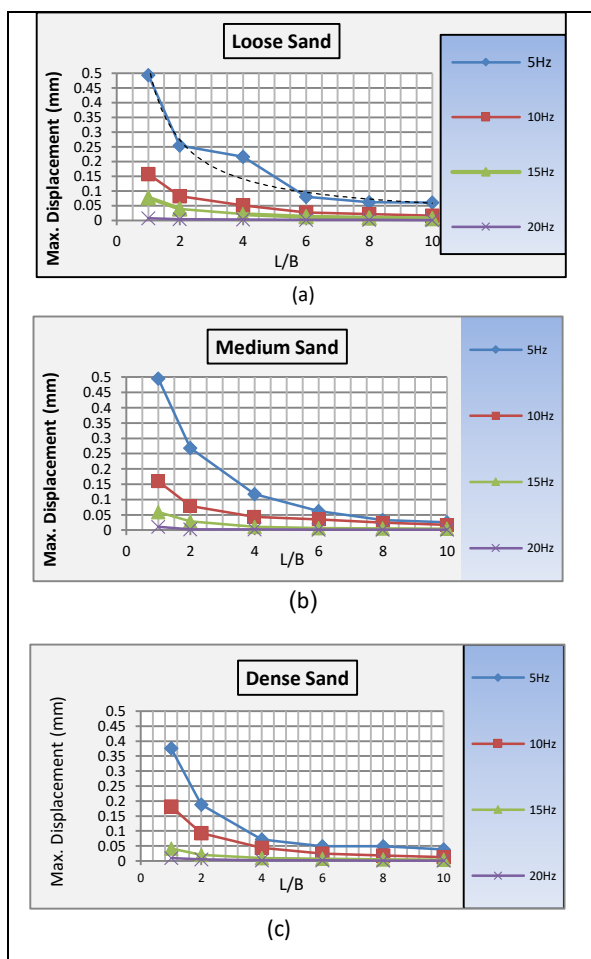
وبعد الحصول على كلا من قيمتي  $C_{dy}$  و  $C_{cr}$  ، يتم حساب قيمة الدافع (Damping ratio, D) باستخدام المعادلة (14)[8]

$$D = \frac{C_{dy}}{C_{cr}} \dots\dots (14)$$

ثم يتم حساب اعظم قيمة للهبوط من خلال المعادلة (15)[8]

$$A_z = \frac{Q}{K_{dy}*2D*\sqrt{1-D^2}} \dots\dots (15)$$

حيث أن :



$A_z$  : اعظم قيمة للهبوط (m)

$Q$  : قيمة الحمل المسلط الساكن والحركي (KN)

في هذه الدراسة تم تمثيل حالة المنظومة (التربة – الأساس – الماكينة ) في برنامج ( Plaxis 2D V8.6 ) لثلاث نماذج افتراضية من التربة الرملية (مفكرة ، متوسطة ، كثيفة) لإجراء تحليل للهبوط المتوقع تحت الاساس نتيجة الحمل الحركي المسلط ، حيث اعتمدت خواص التربة والاساس المثبتة في الجدول (1) في عملية التحليل ، علماً أن هذه القيم الافتراضية لخواص التربة اعتمدت كمعدل لأغلب المراجع العلمية في هذا

ويوضح الجدول (3) التالي نموذج من النتائج المستحصلة لقيم اعظم هبوط للأساس استناداً للمعادلات (16,17) عند حالة الرنين عند تردد (10 Hz) والترية من نوع الرملية المفككة . (Loose Sand)

الجدول (3): قيم اعظم هبوط للأساس عند حالة الرنين وتردد (10 Hz) والترية من النوع الرملية المفككة (Loose Sand)

L/B	Amplitude at resonance (mm)
1	2.287098
2	1.464389
4	0.839952
6	0.59949
8	0.619314
10	0.509272

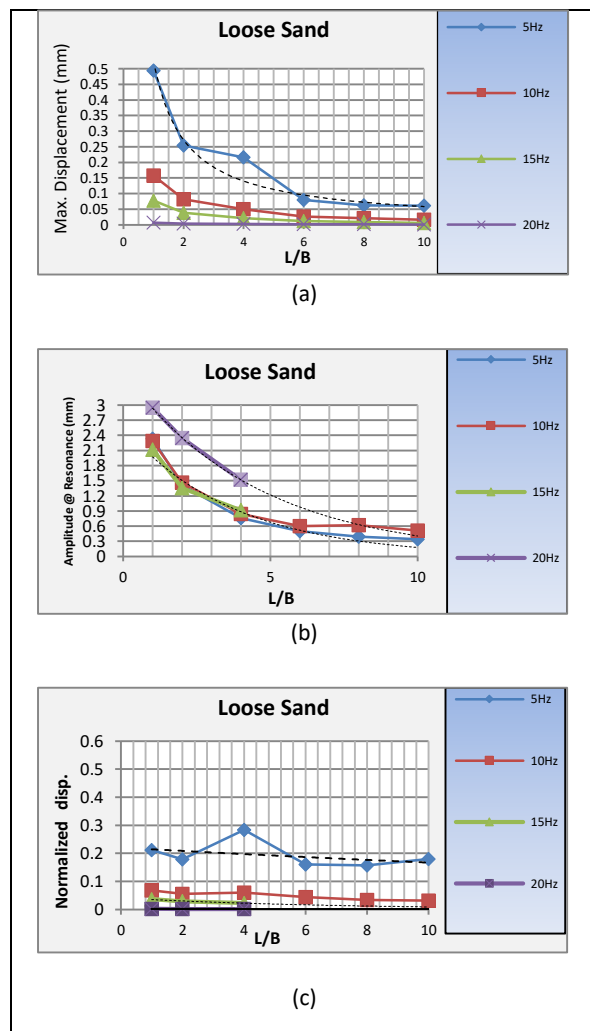
كما مبين في الشكل (5,b) لحالة الترية الرملية المفككة (6,b) لحالة الترية الرملية المتوسطة والشكل (7,b) لحالة الترية الرملية الكثيفة حيث لوحظ انخفاض في قيمة الهبوط مع زيادة الكثافة للتربة او زيادة قيمة معامل المرونة (E) لكل نوع من انواع الترية الثلاث.

لمعرفة مدى اقتراب منظومة الاساس من حالة الرنين فقد اقترح حساب معامل جديد سمي الازاحة المرجعية (Normalized Displacement) كما موضح في الشكل (5,c) ، (6,c) و (7,c) لحالات الترية الثلاث والتي تمثل حاصل قسمة اقصى هبوط (Max. Displacement) كما موضح في الشكل (5,b) ، (6,b) و (7,b) والمحسوب بطريقة العناصر المحددة باستخدام برنامج (Plaxis 2D) الى مقدار الهبوط في حالة الرنين (Amplitude at Resonance) (Amplitude at Resonance) والمحسوبة من معادلات التحليل المذكورة سابقاً لنفس خواص التربة وشكل الاساس وكما موضح في الاشكال (3,c) ، (4,c) و (5,c).

كما لوحظ من خلال النتائج وكما مبين في الشكل (5,b) و (5,c) فإنه عند تردد (L/B=4) وما بعد نسبة (L/B=4) فإن المنحني ينتهي لوجود حالة الرنين وقد تم توقع التصرف باستخدام المنحني المنقط.

الشكل (5): تأثير شكل الأساس والتردد على قيمة الازاحة المرجعية (ترية رملية مفككة)

الشرطي ويعود ذلك الى توزيع تأثيره بشكل اكبر في حالة الأساس الشرطي منه في المربع فيقل التأثير كما مبين بالشكل (4,a) عند (L/B=4) فإن قيمة  $r_o$  يصبح تأثيرها اعلى على تردد الرنين للمنظومة .



3. دراسة حالة الرنين

لغرض دراسة حالة الرنين واقتراح منظومة الأساس من هذه الحالة تم حساب اقصى قيمة لهبوط والتي تحدث عند حدوث حالة الرنين للمنظومة والتي تم الحصول عليها من مجموعة المعادلات وهي كالتالي:

$$B_z = \frac{1-\vartheta}{4} * \frac{m}{\gamma * r_o} \dots \dots \dots (16)$$

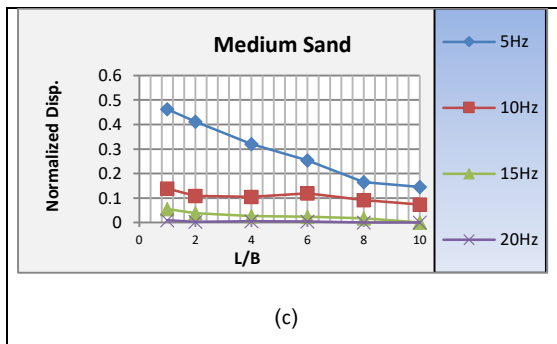
$$F_m = \left( \frac{1}{2\pi} \right) * \left( \sqrt{\frac{G}{\rho}} \right) * \left( \frac{1}{r_o} \right) * \sqrt{\frac{0.9}{B_z - 0.45}} \dots \dots \dots (17)$$

حيث أن :

$B_z$  : نسبة الكتلة المعدلة [ 10](Modified mass ratio)

$\rho$  : كثافة التربة (KN/m<sup>3</sup>)

G : معامل المرونة الحركي للتربة (KN/m<sup>2</sup>)

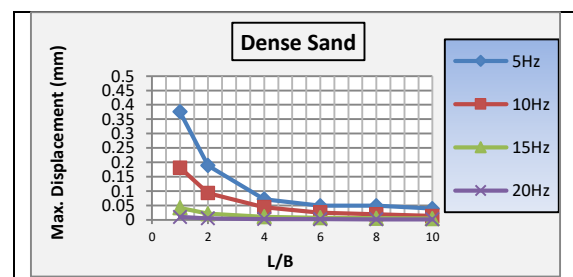


الشكل (6): تأثير شكل الاساس والتردد على قيمة الازاحة المرجعية(تربة رملية متوسطة)

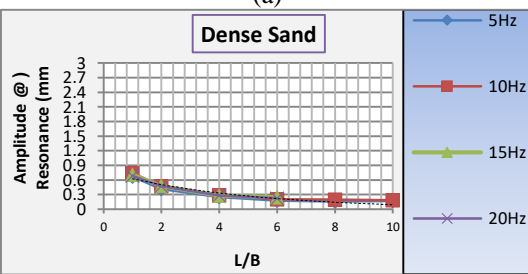
الشكل (7) : تأثير شكل الاساس والتردد على قيمة الازاحة المرجعية (تربة رملية كثيفة)

### الاستنتاجات

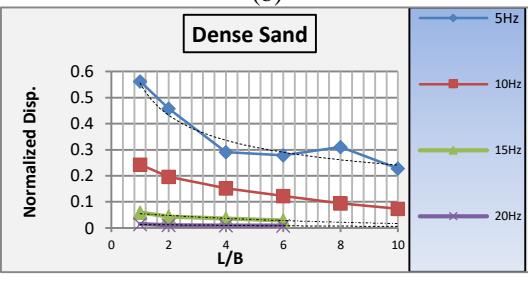
1. تنخفض قيمة الهبوط بزيادة قيمة نسبة ( $L/B$ ) للأساس لنفس التردد لحالات التربة الثلاث .
2. تتحقق اكبر قيمة للهبوط عند اقل قيمة  $L$  (E) للترابة لنفس التردد اي عند زيادة كثافة التربة يقل الهبوط ويبدا الانخفاض الملحوظ بقيم الهبوط عند تردد (5,10 Hz) (1,4) لجميع انواع التربة بين نسبتي ( $L/B$ ) المساوية لـ
3. ثم بعدها يكون الانخفاض تدريجي بطيء كما هو في الاشكال (5) و (6) و (7) في حين تقل نسبة الانخفاض عند زيادة التردد (15,20 Hz).
- بزيادة قيمة معامل المرونة (E) تزداد قيمة الازاحة المرجعية اي انها تقترب من حالة الرنين [11] عند التردد (5 Hz) لحالة الاساس المربع اكثرا منها من المستطيل والشرطي ، اما باقي الترددات (5 , 10 , 15 , 20 Hz) ف تكون قيمة الازاحة المرجعية اقل مقارنة بالتردد (5 Hz) وهذا اقل تباينا بين حالات شكل الاساس المختلفة.



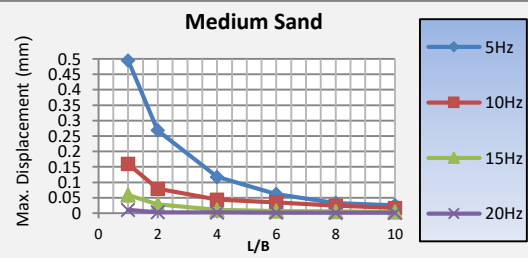
(a)



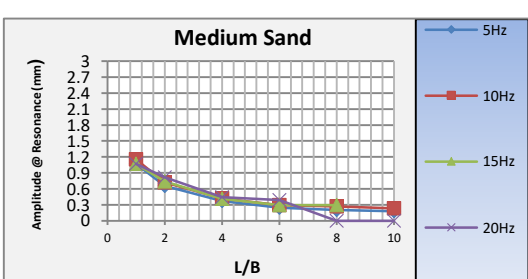
(b)



(c)



(a)



(b)

### References

- [1] K.R.Arora, Soil Mechanics and Foundation Engineering, 4th ed. Delhi Standard 2004.
- [2] B.M. Das and G.V. Ramana, " Advanced Soil Mechanics" , Taylor and Francis Group Boca Raton , London , New York , 2014.
- [3] T.W. Lambe and R.V. Whitman, " Soil Mechanics" , Joein and sons , Newyork 1969.
- [4] D. D. Barkan, "Dynamics of Bases and Foundations" , McGrawHill (translated) 1962.
- [5] S. C.Arya, M. W. O'Neill, and G.Pincus, "Design of Structures and Foundations for

- [10] J .Lysmer and RL. Kuhlemeyer , "Finite dynamic model for infinite media" , Journal of the Engineering Mechanics Division, ASCE 95(EM4):859-877 1966.
- [11] S. Saran, "Soil Dynamic and Machine foundation ", Suneel Galgotia for Galgotia Publications (P) Ltd.5, Ansari Road, Darya Ganj. New Delhi-110 002, 1<sup>th</sup> Edition, 1999.
- Vibrating Machine", Gulf Publishing Company Book Division, Huston, London, Tokyo 1979 .
- [6] J. E. Bowles, "Foundation Analysis and Design", 5th edition McGrawHill Companies, Inc., pp. 1175 1996.
- [7] G.Gazetas, "Analysis of Machine Foundations: State of the Art", Soil Dynamics and Earthquake Engineering, Vol. 2, No. 1, pp. 2-42.
- [8] B.M. Das. and G. V. Ramana, "Principles of Soil Dynamics", Cengage Learning 2<sup>nd</sup> , 2011.
- [9] R. B. J. Brinkgreve, "PLAXIS-2D Version 8 User Manuals", Delft University of Technology and PLAXIS, b. v., the Netherlands 2002.

## Settlement Analysis of machine foundation Under Reciprocating Load using FEM

Noor Khalid Al-Hasso  
n.khalid35@yahoo.com

Qutayba N. Al-Saffar  
Dr.Qutayba@gmail.com

Civil Engineering Department, Collage of Engineering, University of Mosul

### **Abstract**

The analysis of the machines foundations is an important issue in the geotechnical engineering as the foundations of the machine provide a strong platform for the machines to work in a smooth manner with minimal maintenance requirements. The process of analyzing of the machines foundations requires more attention since it includes not only the static loads but also the dynamic loads that result from the unbalanced forces that the machine generates or its vibratory motion. Of course, this movement load is transferred to the soil through the foundation and its effect can be calculated using the principles of kinetic soil and vibration theory. Here, the search deals with the study of analyzing machines foundations under the influence of kinetic loads taking into consideration the type of soil and its condition, the shape of the foundation and its location from the surface of the earth, the type of kinetic load projected and the method of analysis. In this study, and for the purpose of achieving what has been mentioned with using finite element method (program Plaxis 2D V8.6 ) three types of sandy soil (Loose, medium and dense) were taken. The effect of dynamic loads on different types of machine foundations (square, rectangular, and strip) was studied and under the influence of a different dynamic frequency (5,10,15, 20 Hz) was studied and the effect of a group of these factors on the amount of displacement of the machine foundation was studied and these results were compared with the maximum Amplitude when resonating with a special parameter called Normalized Displacement.

It is noted from this study that the value of the displacement decreases by increasing the values of the (L / B) ratio of the foundation for the same frequency for the three soil states, , and that the increase the value of the elastic modulus (E), the Normalized displacement value approaches the number (1), that meaning it approaches the resonance at the frequency ( 5 Hz) for the case of the square foundation more than the rectangle and the strip , and for the remaind of the frequencies (10, 15, 20 Hz) the Normalized displacement value will be less compared to the frequency (5 Hz) as well as less variation between the cases of different foundations shape.

### **Keywords:**

machine foundation , Resonant frequency , Dynamic load , Normalized Displacement , Finite Element